

A. B. Дубовик

ВЯЗКОПЛАСТИЧЕСКАЯ МОДЕЛЬ ИНИЦИРОВАНИЯ ТВЕРДЫХ ВВ УДАРОМ

Разработана физико-математическая модель неизотермической деформации диска из несжимаемого вязкопластического материала при ударе с учетом образования в радиальном потоке вязких граничных слоев на контактных границах с ударником и наковальней. Несмотря на малую толщину и кратковременность существования граничные слои служат эффективными концентраторами диссилируемой энергии удара и играют решающую роль в процессах теплового разупрочнения материала и разрушения диска. Модель использована для расчетов критических условий и основных закономерностей механического инициирования зарядов твердых ВВ. Хорошее согласие теоретических и экспериментальных данных по чувствительности ВВ к удару подтверждает положенную в основу модели систему взглядов на природу возбуждения взрыва при механических воздействиях.

Разработка физико-математических моделей механического поведения и инициирования взрыва при ударе — актуальная задача теории чувствительности твердых ВВ к механическим воздействиям. В последние годы наибольший успех в проведении расчетов условий возбуждения взрыва связан с фрикционной моделью диссилиативного тепловыделения на поверхностях адиабатического сдвига, которые представлены как разрывы скоростей движения фрагментов, образующихся при критической деформации (разрушении) заряда ВВ [1, 2]. Для этого предельно напряженного состояния принималось, что сила трения на разрывах равна пределу прочности (текучести) вещества на сдвиг τ_s .

Однако физически ясно, что разрыв скоростей в реально существующем теле невозможен из-за вязкости среды, которая слаживает скачкообразный переход, создавая непрерывную зону течения (погранслой) между фрагментами. Возможность существования переходной зоны следует из механического уравнения состояния вязкопластического тела, согласно которому в области малых градиентов скоростей (фрагменты) течение среды подобно потоку идеально пластического материала, тогда как в области больших градиентов (погранслой) оно приближается к течению вязкой жидкости.

В представленной здесь модели развитой вязкопластической деформации (разрушения) заряда ВВ, в отличие от фрикционной, имеется не плоский, а объемный источник тепловыделения, действующий главным образом в погранслое, где градиенты скоростей наибольшие. Поэтому небезинтересно знать, как смена механизма диссилиации энергии влияет на условия инициирования ВВ при ударе. В этой связи расчет критических параметров возбуждения взрыва на основе модели с погранслоем проводится для зарядов тэн в квазистатическом представлении о характере удара, как это сделано в [1] с использованием фрикционной модели тепловыделения. Для такого расчета необходимо знать поле скоростей и распределение давлений при осесимметричном растекании вязкопластического материала в зазоре между соударящимися жесткими поверхностями. Отсутствие ограничений на толщину погранслоя и учет инерционных свойств потока отличают решение указанной механической задачи от работ [4, 5].

1. Рассмотрим осевой удар со скоростью V_0 по круглому диску из несжимаемого вязкопластического материала толщиной $\delta_0 \ll R$ (R — радиус ударника). Пусть сила удара достаточна для перехода материала в состояние пластического течения (сдвиговые напряжения в потоке $\tau_{rz} \geq \tau_s$). Тогда все течение в зазоре между ударником и наковальней, за исключением малой части вблизи оси диска (зона застоя), разделяется на две характерные области. Из-за прилипания вещества к поверхности ударника (наковальни) вдоль нее формируется пограничный слой с па-

раболическим профилем скоростей, как при течении Пуазейля. Центральная часть зазора заполнена внешним потоком, характер течения в котором близок к стержневому со скоростью u_0 .

Оценим характерную толщину погранслоя. Из четырех определяющих величин u , δ , τ_s и μ_s (пластическая вязкость среды) можно составить единственную комбинацию с размерностью длины $\varepsilon \sim (\mu_s u \delta / \tau_s)^{1/2}$. Вводя характеристический параметр потока вязкопластической среды $B = \tau_s \delta / \mu_s u$ (число Бингама), найдем величину $\varepsilon / \delta \sim B^{-1/2}$. При обтекании пластины потоком вязкой жидкости безразмерная толщина погранслоя $\sim Re^{-1/2}$ (Re — число Рейнольдса). Из этих оценок и гидродинамической аналогии обтекания тел потоками веществ с различной реологией следует возможность рассмотрения двух предельных режимов течения, характеризующихся соответственно значениями $B \ll 1$ и $B \gg 1$. Первый режим реализуется при течении малопрочных материалов с большой пластической вязкостью, к которым по механическим свойствам большинство твердых BB не относится. Поэтому в дальнейшем рассматриваем течения с $B \gg 1$, для которых толщина погранслоя мала по сравнению с характерными размерами потока.

Начало цилиндрической системы координат расположим в центре диска на поверхности наковальни. Задачу решаем полуобратным методом. Зададим распределение радиальных скоростей в погранслое

$$u = u_0 z (2\varepsilon - z) \varepsilon^{-2}, \quad (1)$$

удовлетворяя граничным условиям

$$u(r, 0, t) = 0, \quad u(r, \varepsilon, t) = u_0.$$

Из условия материального баланса

$$\bar{u} = \frac{wr}{2\delta} = \frac{2}{\delta} \left(\int_0^\varepsilon u dz + \int_\varepsilon^{\delta/2} u_0 dz \right)$$

определен $u_0 = \bar{u} (1 - 2\varepsilon/3\delta)^{-1}$. На основе уравнения неразрывности, найдем компоненты скорости в погранслое

$$\begin{aligned} u &= (wr/2\delta) \eta (2 - \eta) (1 - 2\varepsilon/3\delta)^{-1}, \\ v &\simeq -(w\varepsilon/12\delta) \eta^2 (9 - 2\eta), \end{aligned} \quad (2)$$

где $\eta = z/\varepsilon$; $w = -d\delta/dt$ — скорость контактной поверхности ударника. Здесь выражение для v приведено с точностью до величины порядка $(\varepsilon/\delta)^2$.

Воспользуемся условием тонкости погранслоя ($\varepsilon < \delta$), согласно которому $\frac{\partial}{\partial z} \gg \frac{\partial}{\partial r}$, и вычислим интенсивность напряжений сдвига H_1 для $0 \leq z \leq \varepsilon$; с помощью уравнения состояния вязкопластического тела [3] определим касательные напряжения τ_{rz} :

$$\begin{aligned} H_1 &= [2(u_{,r}^2 + (u/r)^2 + v_{,z}^2) + (u_{,z} + v_{,r})^2]^{1/2} \simeq |u_{,z}|, \\ \tau_{rz} &= (\tau_s/H_1 + \mu_s)(u_{,z} + v_{,r}) \simeq \tau_s \operatorname{sign} u_{,z} + \mu_s u_{,z}. \end{aligned} \quad (3)$$

Используя (3), запишем радиальную компоненту уравнения движения в погранслое ($0 \leq z \leq \varepsilon$)

$$\rho_0 \frac{du}{dt} = -p_{,r} + \left(\mu_s + \frac{\tau_s}{H_1} \right) u_{,zz} - \frac{\tau_s}{H_1^2} H_{1,z} u_{,z} \simeq -p_{,r} + \mu_s u_{,zz}. \quad (4)$$

Подстановка поля скоростей (2) в (4) и осреднение полученного выражения по z от 0 до ε дают

$$-p_{,r} = (\mu_s w r / \delta \varepsilon^2) (1 - 2\varepsilon/3\delta)^{-1}. \quad (5)$$

Чтобы не загромождать запись (5), в ее правой части опущено инерционное слагаемое $j_1 \sim (\rho_0 w^2 r / \delta^2) (1 - 2\varepsilon/3\delta)^{-1}$. Для малых скоростей сжатия $w \ll (\delta/R) (\tau_s / \rho_0)^{1/2}$ вклад сил инерции в результирую-

щее давление незначителен. С повышением w их учет становится обязательным.

В уравнении (5) неизвестна функция $\varepsilon(r, t)$. Для ее определения рассмотрим течение среды во внешнем потоке. В силу тонкости диска ($\delta \ll R$) соотношения (3) справедливы и в этой области течения. Осредняя по z от 0 до δ уравнение движения в проекции на ось r , получим

$$\rho_0 \frac{du}{dt} = \bar{\sigma}_{r,r} - \frac{2\tau_s}{\delta} - \frac{4\mu_s u_\alpha}{\delta\varepsilon} + \frac{\bar{\sigma}_r - \bar{\sigma}_\varphi}{r}. \quad (6)$$

Таким образом, задача определения поля напряжений в вязкопластическом диске свелась к интегрированию уравнения (6) для средних по z компонент $\bar{\sigma}_r$, $\bar{\sigma}_\varphi$ и радиальной скорости u , которой по уравнению неразрывности соответствует осевая скорость $\bar{v} = -wz/\delta$. Для такого поля скоростей в [6] установлена связь между компонентами напряжений и найдено среднее напряжение (давление) $p(r)$:

$$\begin{aligned} \bar{\sigma}_r &= \bar{\sigma}_\varphi = \bar{\sigma}_z + \sigma_s + 3\mu_s w/\delta, \quad \sigma_s = \sqrt{3}\tau_s, \\ p(r) &= -(\bar{\sigma}_z + 2\bar{\sigma}_r)/3, \quad H_2 = w\sqrt{3}/\delta, \quad \bar{\sigma}_{r,r} = -p_{,r}. \end{aligned} \quad (7)$$

Введем безразмерные переменные $g = -p/\delta/2\tau_s$, $\varphi = r/R$ и параметры $B = \tau_s \delta^2 / 2\mu_s w R$, $\xi = 2\varepsilon/\delta$, и с учетом (7) запишем выражения (5), (6) в виде

$$g = \varphi/B\xi^2(1 - \xi/3), \quad g = 1 + \varphi/B\xi(1 - \xi/3) \quad (8)$$

(в последнем выражении опущено несущественное сейчас инерционное слагаемое $j_2 \sim \rho_0 w^2 r / \delta \tau_s$).

Из второго уравнения (8) определяем $\xi = 1 - g^{-1}$ и приходим к формуле для g :

$$g^3 - (3 + \xi)g^2/2 + 1/2 = 0, \quad \xi = 3\varphi/B. \quad (9)$$

Найдем решения (9) для случаев больших и малых B . При $B \ll 1$, соответствующем квазипуазейлеву течению вещества, получаем

$$g \approx \xi/2, \quad \xi \approx 1 - 2\xi. \quad (10)$$

С помощью (10) определяем распределение давлений и среднее (по-площади удараника) давление в диске [7]:

$$\begin{aligned} p(\varphi) &= p_a + (3\mu_s w R^2 \delta^{-3} + 2I_1)(1 - \varphi^2), \\ \bar{p} &= 2 \int_0^1 p(\varphi) \varphi d\varphi = p_a + 3\mu_s w R^2 / 2\delta^3 + I_1, \end{aligned} \quad (11)$$

где $I_1 = (\rho_0 w^2 R^2 / 8\delta^2) (9/5 - d \ln w / d \ln \delta)$ — инерционная компонента давления; p_a — давление в веществе на краю диска, которое для рассматриваемого режима течения можно положить равным атмосферному.

Проанализируем структуру течений при $B \ll 1$. Из (10) следует, что размер твердого ядра потока $1 - \xi = 2B/3\varphi \ll 1$ составляет малую часть толщины диска и уменьшается от центра диска к его периферии. Это я-

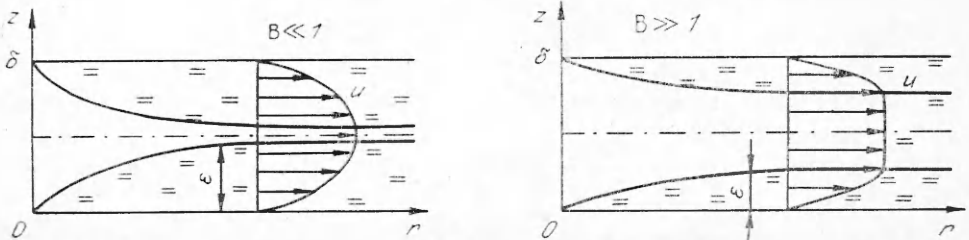


Рис. 1. Схема радиальных течений вязкопластического тела.

ро располагается в середине потока ($z = \delta/2$) и движется с его максимальной скоростью $u_0 = 1,5\bar{u}(1 - B/3\varphi) \approx 1,5\bar{u}$. Основную массу движущейся среды составляет вязкий поток с параболическим профилем скоростей $u \sim z(\delta - z)$ (рис. 1).

Значения $B \gg 1$ соответствуют квазистержневому течению вещества. Из (9) находим

$$g \simeq 1 + (\xi/3)^{1/2}, \quad \xi \simeq (\xi/3)^{1/2}, \quad (12)$$

откуда по (7) получаем

$$\begin{aligned} \bar{\sigma}_r &= -(2\tau_s R \delta^{-1}) \left(1 - \varphi + \frac{2}{3} B(1 - \varphi^{3/2}) \right) + (I_2/2)(1 - \varphi^2), \\ \bar{\sigma}_z &= \bar{\sigma}_r - \sigma_s - 3\mu_s w \delta^{-1}, \\ \bar{p} &= -2 \int_0^1 \bar{\sigma}_z(\varphi) \varphi d\varphi = \sigma_s + \frac{2\tau_s R}{3\delta} + 3\mu_s w \delta^{-1} + \frac{4}{7} (2\mu_s w \tau_s R^3 \delta^{-4})^{1/2} + I_2, \\ I_2 &= \frac{\rho_0 w^2 R^2}{8\delta^2} \left(\frac{3}{2} - \frac{d \ln w}{d \ln \delta} \right). \end{aligned} \quad (13)$$

Из (12) следует, что твердое ядро $1 - (3\varphi/B)^{1/2} \simeq 1$ составляет основную часть потока вещества и движется с его средней скоростью $u_0 \simeq \simeq (1 + (\varphi/B)^{1/2}/3) \simeq \bar{u}$. Вязкий погранслой располагается вдоль контактных поверхностей $z = 0, \delta$. Его толщина ε/δ возрастает как $(\varphi/B)^{1/2}$ (см. рис. 1). При $B \gg 1$ течение в погранслое характеризуется наличием больших градиентов скоростей $\sim (\bar{u}/\delta)(B/\varphi)^{1/2}$, способствующих интенсивной диссиляции энергии и разогреву вещества, намного превышающему разогрев во внешнем потоке. Действительно, отношение скоростей тепловыделения в погранслое и внешнем потоке $\mu_s H_1^2 / \tau_s H_2 \simeq \mu_s \bar{u}^2 \delta^{-2} B / \tau_s w \delta^{-1} \simeq r/\delta \gg 1$ во всей области течения, за исключением малой зоны застоя ($r_z \simeq \delta$). Поэтому тепловыделением во внешнем потоке можно пренебречь и положить там температуру, равную начальной T_0 .

2. В случае $B \gg 1$ уравнение баланса тепла в погранслое записывается в виде

$$\begin{aligned} \rho_0 c_p (dT/dt)_{r_0, z_0} &= (\mu_s H_1^2 + \tau_s H_1 - 2\alpha_0(T - T_0) \varepsilon^{-1})_{r, z}, \\ (r, t)_{r_0, z_0} &= u, (z, t)_{r_0, z_0} = v, \\ T(r_0, z_0, 0) &= T_0, r(r_0, z_0, 0) = r_0, z(r_0, z_0, 0) = z_0. \end{aligned} \quad (14)$$

Здесь r_0, z_0 — координаты лагранжевой частицы; α_0 — коэффициент теплоотдачи от вязкоупругой среды к (металлической) поверхности ударника. Множитель 2 перед α_0 учитывает теплоотвод из погранслоя во внешний поток.

Полагая $\varepsilon \ll \delta$ и вводя переменные $t' = tV_0\delta_0^{-1}$, $x = \delta_0\delta^{-1}$, $y = wV_0^{-1}$, с помощью (2) установим связь между текущими и лагранжевыми координатами частиц

$$\begin{aligned} \dot{\eta} &= -\frac{\eta}{2y} \dot{y} - \frac{xy}{12} \eta^2 (9 - 2\eta), \\ \dot{\varphi} &= \frac{xy\dot{\varphi}}{2} \eta (2 - \eta), \quad \eta(0) = \eta_0, \quad \varphi(0) = \varphi_0. \end{aligned} \quad (15)$$

Введем переменные температуру $\theta = (T - T_0) T_x^{-1}$ и давление $P = p\sigma_0^{-1}$ и примем наиболее употребительные формы записей $\mu_s(T, p)$ и $\tau_s(T, p)$:

$$\begin{aligned} \mu_s &= \mu_0 F_1(\theta, P) = \mu_0 \exp(-k_1\theta(1 + k_2\theta)^{-1} + k_3 P), \\ \tau_s &= \tau_0 F_2(\theta, P) = \tau_0 (1 - k_4\theta(1 + k_5 P)^{-1})^{k_6}, \end{aligned} \quad (16)$$

$$k_1 = UT_x/\mathcal{R}T_0^2, \quad k_2 = T_x T_0^{-1}, \quad k_3 = \gamma \sigma_0,$$

$$k_4 = T_{\pi} (T_{\pi} - T_0)^{-1}, \quad k_5 = \sigma_0 \beta_0 (T_{\pi} - T_0)^{-1}, \quad k_6 = n,$$

$$T_x = 4\tau_0 R B_0^{1/2} / 5\rho_0 c_p \delta_0, \quad B_0 = \tau_0 \delta_0^2 / 2\mu_0 V_0 R.$$

Здесь U — энергия активации вязкого течения; γ — пьезоэффициент вязкости среды; T_{π} — температура плавления вещества; β_0 — ее пьезоэффициент; n — показатель степенной зависимости для τ_s .

В принятых безразмерных переменных уравнение для средней температуры пограничного слоя $\Theta = 2 \int_0^1 d\eta \int_0^1 \theta \phi d\varphi$ принимает вид

$$\begin{aligned} \dot{\Theta} &= xy^{1/2} F_4^{3/2} F_3^{-1/2} + bx^2 y F_4 - \lambda y^{-1/2} F_4^{1/2} F_3^{-1/2} \Theta, \\ \Theta(0) &= 0, \quad \lambda = 16\alpha_0 B_0^{1/2} / 3\rho_0 c_p V_0, \quad b = 5/9 B_0^{1/2}. \end{aligned} \quad (17)$$

Здесь F_3 и F_4 записываются аналогично F_1 и F_2 , но в них используются средние значения давления $\Pi = \bar{p}/\sigma_0$ и температуры Θ .

Отметим, что начальная скорость центра масс системы нагружения V_0 существенно отличается от начальной скорости контактной поверхности ударника w_0 , которую можно положить равной нулю, поскольку сопротивление диска сжатию в начале удара обычно больше жесткости системы нагружения [1, 2]. При квазистатическом характере удара динамическая связь между Π , V и w описывается уравнениями

$$\begin{aligned} \dot{\Pi} &= (\Psi - y) a_1^{-1}, \quad \dot{\Psi} = -a_2 \Pi, \quad \dot{x} = yx^2, \\ \Pi(0) &= \Pi_0, \quad \Psi(0) = \Psi_0, \quad x(0) = 1, \quad y(0) \simeq 0, \end{aligned} \quad (18)$$

где $\Psi = VV_0^{-1}$; $a_1 = \pi R^2 \sigma_0 / k_0 \delta_0$; $a_2 = \pi R^2 \sigma_0 \delta_0 / MV_0^2$; k_0 — жесткость системы нагружения; M — масса ударника (груза). Считая, что развитое вязкопластическое течение диска начинается в момент времени $t = 0$, а до него деформация диска была незначительной и давление возрастало так же, как при «холостом» ударе, т. е. при отсутствии диска между ударником и наковальней, из (18) находим начальные значения

$$\Pi_0 = \Gamma + 1, \quad \Psi_0 = (1 - (\Pi_0/\Pi_{\infty})^2)^{1/2}, \quad \Gamma = 2R/3\sqrt{3}\delta_0,$$

где $\Pi_{\infty} = (V_0/\pi R^2)(M/k_0)^{1/2}$ — максимальное давление при «холостом» ударе.

Наконец, полагая, что химическое разложение ВВ протекает по механизму теплового взрыва, реакция термораспада является высокоактивированной и сильной экзотермичной, т. е. выгоранием вещества в течение периода индукции можно пренебречь, запишем условие воспламенения в виде [1, 2]

$$\int_0^{t_v'} (\theta + k_2^{-1})^{-2} \exp(-k_8/(\theta + k_2^{-1})) dt' = k_7^{-1}, \quad (19)$$

где t_v' — момент воспламенения ВВ; $k_7 = QZE\delta_0/c_p \mathcal{R}T_x^2$; $k_8 = E/\mathcal{R}T_x$; E , Z — активационные параметры; Q — теплота химической реакции. По химическому смыслу запись (18) означает, что при $t = t_v$ доля периода индукции $0 \leq f \leq 1$ обращается в единицу ($f_k = 1$).

Уравнения (13)–(19) образуют замкнутую систему дифференциальных уравнений 1-го порядка, описывающую вязкопластическую деформацию, диссипативный разогрев и тепловое воспламенение диска из взрывчатого материала (заряда) при ударе. Ее решение легко получить численным методом по стандартным программам. В расчетах критических параметров инициирования тэна ударом на копре использованы следующие характеристики: $\rho_0 = 1770$ кг/м³, $\rho_0 c_p = 2$ МДж/(м³ · К), $T_{\pi} = 414$ К,

$Q = 5,75 \text{ МДж/кг}$, $E = 165 \text{ кДж/моль}$, $Z = 3,98 \cdot 10^{15} \text{ с}^{-1}$, $\sigma_0 = 59 \text{ МПа}$, $\mu_0 = 7 \text{ мПа} \cdot \text{с}$, $n = 0,4$, $\gamma = 5 \text{ ГПа}^{-1}$, $\beta_0 = 0,3 \text{ К/МПа}$, $V_0 = 2,2 \text{ м/с}$, $k_0 = 0,25 \text{ ГН/м}$, $M = 10 \text{ кг}$, $T_0 = 293 \text{ К}$, $U = 20,9 \text{ кДж/моль}$, $R = 5 \text{ мм}$, $\alpha_0 = 5 \text{ кДж}/(\text{м}^2 \cdot \text{с} \cdot \text{К})$, $\mathcal{R} = 8,3144 \text{ Дж}/(\text{К} \cdot \text{моль})$.

В использованном алгоритме расчета переменным параметром являлась толщина заряда δ_0 . При ее снижении диссиликативный разогрев ВВ возрастает $\sim \delta_0^{-1/2}$ и время воспламенения быстро уменьшается $\sim \exp(A\delta_0^{1/2})$, где A — большое число $\sim E/\mathcal{R}T_0$. Напротив, время разрушения заряда t_k , определяемое по достижению минимума \bar{p}_k на кривой спада давления $\bar{p}(t)$, возрастает с уменьшением толщины $\sim \delta_0^{-n}$ ($n \approx 1$) из-за увеличения диссиликативных и инерционных сил сопротивления диска разрушению. Величина δ_0 , при которой выполняется равенство $t_b = t_k$, принятая равной критической δ_* , в соответствии с правилами испытаний ВВ на чувствительность к удару по методу критических напряжений [1, 8]. Максимальное давление в диске \bar{p}_{\max} при $\delta_0 = \delta_*$, которое достигается в интервале $0 < t < t_k$, называется критическим давлением инициирования \bar{p}_* .

На рис. 2 приведены результаты расчета физико-механических и химических параметров состояния тела в критических условиях инициирования при $\delta_* = 0,27 \text{ мм}$. Расчеты выполнены для наиболее «горячей» частицы с $\varphi_0 = 0,275$ и $\eta_0 = 0,5$. До момента $t = 0$ имело место простое сжатие заряда с приблизительно линейным законом роста давления до $\bar{p}_0 = 0,480 \text{ ГПа}$ в течение 77,2 мкс. За это время скорость V_0 уменьшилась до 2,0 м/с.

С момента $t = 0$ начинается вязкоупругое течение тела. После незначительного подъема давления до $\bar{p}_* = 0,489 \text{ ГПа}$ ($t_{\max} = 1,95 \text{ мкс}$) наблюдается тепловое разупрочнение заряда, сопровождающееся спадом давления до нуля в течение $\Delta t_2 = t_2 - t_{\max} = 6,50 \text{ мкс}$. Далее давление в потоке становится отрицательным, достигая минимума, $\bar{p}_k = -0,134 \text{ ГПа}$ в момент окончания разрушения заряда $t_k = 14,3 \text{ мкс}$. Аналогично изменяется локальное давление в точке $r_* = 1,38 \text{ мм}$, имеющее экстремумы $p_{\max} = 0,980 \text{ ГПа}$ и $p_k = -0,248 \text{ ГПа}$.

Примечательно, что значительную часть времени разрушения давление в заряде обусловлено действием инерционных сил, тогда как диссиликативные силы преобладают в начале разрушения. Из рис. 2 видно, что диссиликативное давление $q = \bar{p} - I_2$ становится близким к нулю уже при $t_1 = 3,04 \text{ мкс}$, когда степень сжатия заряда невелика ($x_1 = 1,02$). Однако в это время средняя температура в погранслое $\langle T \rangle_1 = 557 \text{ К}$ достигает температуры плавления тела ($\bar{p}_1 = 0,477 \text{ ГПа}$). Из (18) следует, что при $q = 0$ $\bar{p} = I_2 \leq 0$, если $y(t)$ — убывающая функция времени такая, что $y \geq y_3(x_3/x)^{3/2}$, где y_3 и x_3 взяты в точке максимума скорости $y = y_{\max}$ при $t_3 = 5,40 \text{ мкс}$ ($t_3 > t_{\max}$). Для $y_3 = 18,5$ ($w_{\max} = 37,0 \text{ м/с}$) и $x_3 = 1,4$ полученное неравенство выполняется при всех $0,065 \leq t' \leq 0,109$, т. е. в течение интервала времени, когда $\bar{p} \leq 0$.

Таким образом, возникновение отрицательных напряжений в заряде при $t \geq t_2$ связано с исключительно высокой радиальной скоростью растекания тела, которая на краю ударника достигает предельной величины $\bar{u}_{\max} = 480 \text{ м/с}$. С уменьшением δ_0 скорость сжатия заряда снижается и при $\delta_0 \leq 0,2 \text{ мм}$ $\bar{p} > 0$ для всего времени разрушения. При $\delta_0 < 0,1 \text{ мм}$ давление начала пластического течения столь велико ($\bar{p}_0 > p_x$), что энергии удара недостаточно для разрушения и взрыва заряда.

Обсудим ход температурной кривой $T(t)$ на рис. 2. Ее быстрый рост начинается от t_{\max} и продолжается до t_1 , где $T_{\max} = 656 \text{ К}$. Далее имеет место медленный спад $T(t)$ из-за теплоотвода из погранслоя в контактную поверхность и во внешний поток. По этой причине функция $f(t)$ экспоненциально увеличивается только до момента t_1 , а далее она растет приблизительно линейно вплоть до $f_k = 1$ в момент воспламенения $t_b = t_k$. Поскольку при $t = t_1$ $q \approx 0$, приходим к выводу, что разогрев разрушающегося заряда обусловлен главным образом работой диссиликативных сил

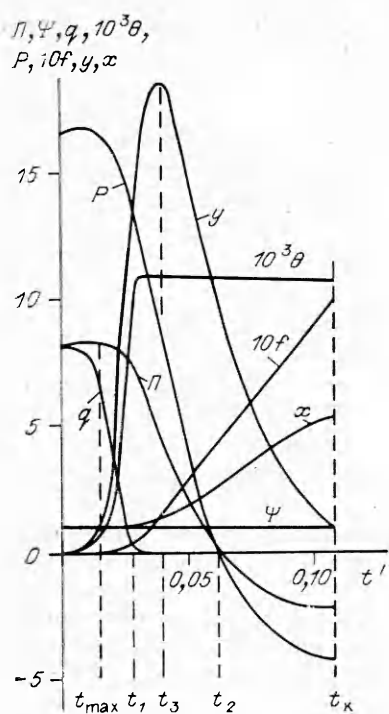


Рис. 2. Зависимости от времени: давлений, скоростей u и Ψ , температуры, доли периода индукции и степени сжатия заряда.

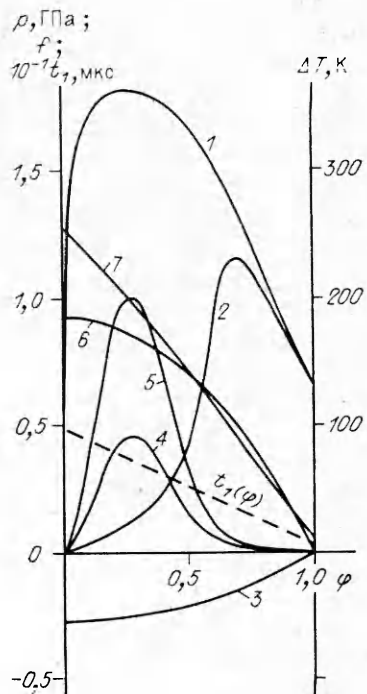


Рис. 3. Распределения давлений p вдоль радиуса заряда в моменты времени t_{\max} (7), t_1 (6) и t_k (3), разогревов ΔT в моменты t_{\max} (2) и t_1 , t_2 , t_k (1), долей периода индукции f в моменты t_k (4) и t_k (5).

давления, тогда как инерционные силы увеличивают преимущественно кинетическую энергию вещества и практически не влияют на рост температуры.

Для рассматриваемых критических условий инициирования тэна на рис. 3 приведены профили давлений p , разогревов $\Delta T = T - T_0$ и долей периода индукции f вдоль радиуса заряда φ для указанных выше характерных моментов времени t_{\max} , t_1 , t_2 и t_k . Видно, что распределение давлений за время разрушения изменяется от линейного ($t = t_{\max}$) к параболическому ($t = t_1$), затем кривая $p(\varphi)$ обращается в нуль при $t = t_2$ и, наконец, выходит в отрицательную область значений. Температура в момент t_{\max} есть немонотонная функция φ с максимумом, смещенным к краю заряда ($\varphi_{\max} = 0,7$). На периферии ударника ($\varphi = 1$) $\Delta T = 137$ К, что близко к $T_n - T_0 = 121$ К¹. С течением времени максимум температур смещается внутрь заряда к $\varphi_k = 0,276$.

Изменение профилей $\Delta T(\varphi)$ объясняется тем, что в начале течения скорость сжатия заряда невелика, и заметные радиальные смещения среды имеют место лишь на краю заряда, где давление мало, в силу чего максимум разогрева располагается ближе к периферии. С увеличением w начинают разогреваться центральные участки заряда, где давление большое и температура плавления тэна, ограничивающая диссипативный разогрев, также высока. В зоне застоя вещество неподвижно и не разогревается. Кривая $f(\varphi)$ следует за температурной зависимостью и к концу разрушения заряда достигает максимума $f_k = 1$ в точке $\varphi_k = 0,276$.

Штриховой линией на рис. 3 показаны моменты времени t_1 начала плавления тэна в точках вдоль радиуса заряда. Ход этой зависимости свидетельствует о волновом характере процесса плавления, который

¹ Небольшой перегрев на 16 К на периферии заряда связан с конечным давлением $p(R) = \sigma_s$.

Таблица 1

Критические параметры инициирования тэна ударом на копре ($M = 10$ кг, $R = 5$ мм, $V_0 = 2,2$ м/с)

| Модель инициирования | \bar{p} , ГПа | δ_* , мм | t_B , мкс | r_* , мм | p_{\max} , ГПа | ΔT_{\max} , К |
|----------------------|-----------------|-----------------|-------------|------------|------------------|-----------------------|
| ВП | 0,489 | 0,270 | 14,3 | 1,38 | 0,980 | 363 |
| Ф | 0,489 | 0,281 | 11,5 | 1,00 | 1,04 | 389 |
| Эксперимент [8] | 0,480 | 0,27 | — | — | — | — |

возникает на краю заряда и затем распространяется в глубь его с приблизительно постоянной скоростью $c_n = 1,39$ км/с. Эта скорость близка к релеевской скорости звука для тэна, с которой обычно соотносят скорость волны механического разрушения твердых тел: $c_R = 0,93c_t = 0,93c_0[2(1+v)]^{-1/2} = 1,40$ км/с, где c_0 — объемная скорость звука (2,42 км/с) и v — коэффициент Пуассона (0,3). Исключая случайный характер совпадения величин c_n и c_R , из проведенной оценки можно сделать вывод о взаимосвязанности процессов механического и теплового разупрочнения материалов и обязательном учете термических эффектов при построении динамических теорий разрушения твердых тел. Этот вывод качественно подтверждается экспериментами по регистрации высокотемпературных зон ($T \approx T_n$) в вершинах быстрораспространяющихся трещин в твердых телах [9].

В табл. 1 приведены результаты расчетов критических параметров возбуждения взрыва тэна, выполненных с использованием вязкопластической (ВП) и фрикционной (Ф) моделей инициирования. Наблюдается их хорошее совпадение, несмотря на физическое различие источников разогрева вещества — объемного в ВП-модели и плоского в Ф-модели. Это объясняется тем, что при коэффициенте вязкости тэна $\mu_0 = 7$ мПа · с в ВП-модели $B_0 = 17250$, поэтому толщина пограничного слоя мала ($\epsilon \approx \delta B^{-1/2} \approx 10^{-2} \delta \approx 2$ мкм). Такой тонкий источник тепловыделения практически плоский. Время его тепловой релаксации $t_p = \epsilon^2/\kappa \approx 42$ мкс (взято значение коэффициента температуропроводности тэна $\kappa = 10^{-7}$ м²/с) и втрое превышает время разрушения заряда t_k , определяя возможность теплового взрыва в точке $r_0 = r_*$.

С другой стороны, $t_p \ll t_x$ (время «холостого» удара, равное $\pi(M/k_0)^{1/2}$), поэтому при докритических условиях удара ($\delta_0 > \delta_*$) из-за быстрого охлаждения пограничного слоя последующий подъем давления на разрушенном заряде протекает в режиме, как и при «холостом» ударе (если энергии в системе нагружения достаточно для повторного сжатия заряда).

Рассмотрим возможности использования ВП-модели для описания экспериментальных данных по механической чувствительности ВВ. Как и при использовании Ф-модели, расчеты дают слабую зависимость $\bar{p}_*(V_0)$ (при $V_0 = 10$ м/с получено $\bar{p}_* = 0,490$ ГПа, $\delta_* = 0,30$ мм, $t_B = 8,76$ мкс) и радиуса ударника R (при $R = 10$ мм и $V_0 = 10$ м/с $\bar{p}_* = 0,423$ ГПа, $\delta_* = 0,67$ мм, $t_B = 20,3$ мкс), что удовлетворительно согласуется с экспериментальными данными [10].

Наиболее привлекательным представляется использование ВП-модели для анализа зависимости параметров инициирования от начальной температуры ВВ, так как Ф-модель [2] дает очень слабую зависимость $\bar{p}_*(T_0)$, тогда как экспериментальные данные [11] свидетельствуют об обратном. В табл. 2 приведены результаты расчетов для тэна при $223 \leq T_0 \leq 373$ К. Значения σ_0 и μ_0 вычислялись по (16) с последующей слабой корректировкой μ_0 для лучшей сходимости теоретических и экспериментальных значений \bar{p}_* . Эта процедура показала, что использовать в расчетах постоянную величину U можно лишь в первом приближении и необходимо учитывать ее уменьшение с температурой.

Таблица 2

Влияние начальной температуры на чувствительность тэна к удару

| T_0 , К | σ_0 , МПа | μ_0 , мПа·с | δ_z , мм | p_* , ГПа | | p_{\max} , ГПа | ΔT_{\max} , К | t_B , мкс |
|-----------|------------------|-----------------|-----------------|-------------|------|------------------|-----------------------|-------------|
| | | | | расчет | [11] | | | |
| 223 | 70 | 4,0 | 0,31 | 0,517 | 0,51 | 1,03 | 441 | 14,2 |
| 293 | 59 | 7,0 | 0,27 | 0,489 | 0,49 | 0,980 | 363 | 14,3 |
| 343 | 48 | 0,6 | 0,235 | 0,447 | 0,44 | 0,960 | 317 | 14,5 |
| 373 | 40 | 0,05 | 0,205 | 0,416 | 0,39 | 0,825 | 284 | 14,9 |

Из табл. 2 следует, что несмотря на заметное снижение ΔT_{\max} с T_0 сама величина T_{\max} остается приблизительно постоянной (660 ± 4 К), что и определяет с химической точки зрения постоянство времен до взрыва $t_B = 14,5 \pm 0,3$ мкс. Анализ результатов расчета показывает, что температурный коэффициент критического давления инициирования $-d \ln \bar{p}_*/dT_0$ меняется и зависит от температуры как αT_0^3 , где $\alpha = 0,52 \cdot 10^{-10} \text{ К}^{-3}$. Отсюда находим, что в рассматриваемом диапазоне температур величина \bar{p}_* экспоненциально зависит от T_0 : $\bar{p}_* = 0,5356 \exp(-0,3819(T_0/T_n)^4)$.

Итак, в работе представлена физико-математическая модель неизотермической деформации диска из несжимаемого вязкопластического материала при ударе с учетом образования в радиальном потоке бингамовских погранслоев вблизи контактных границ с ударником и наковальней. Несмотря на малую толщину и кратковременность существования погранслои эффективно концентрируют диссилируемую энергию удара и играют решающую роль в процессах теплового разупрочнения материала и разрушения диска. Модель использована для расчетов критических условий и основных закономерностей механического инициирования зарядов твердых ВВ. Хорошее согласие теоретических и экспериментальных данных по чувствительности ВВ к удару подтверждаетложенную в основу модели систему взглядов на природу возбуждения взрыва при механических воздействиях.

ЛИТЕРАТУРА

- Дубовик А. В., Лисанов М. В. Расчет критических параметров инициирования твердых ВВ ударом на копре // ФГБ.— 1985.— 21, № 4.— С. 87—93.
- Дубовик А. В., Лисанов М. В., Авдеев Е. А. Расчет параметров инициирования твердых ВВ с учетом локализации пластической деформации при ударе // Хим. физика.— 1986.— 5, № 4.— С. 539—547.
- Мясников В. П. О постановке задачи обтекания тел вязкопластической жидкостью // ПМТФ.— 1962.— № 4.— С. 52—59.
- Гуткин А. М. Медленное сжатие вязкопластичной дисперсной системы // Коллоидный журнал.— 1962.— 24, № 1.— С. 8—10.
- Мясников В. П. О сдавливании вязкопластического слоя жесткими плитами // Изв. АН СССР. Механика и машиностроение.— 1963.— № 4.— С. 92—97.
- Боболев В. К., Боднева В. Л., Дубовик А. В. Деформация свинцовых дисков при ударе // ПМТФ.— 1975.— № 5.— С. 153—158.
- Андрянкин Э. И. Растрекание вязкой капли при ударе // Там же.— 1966.— № 5.— С. 142—145.
- Афанасьев Г. Т., Боболев В. К. Инициирование твердых ВВ ударом.— М.: Наука, 1968.
- Fuller K. N. G., Fox P. G., Field J. E. The temperature rise at the tip of fast-moving cracks in glassy polymers: Proc. Roy. Soc. Lond. Ser. A.— 1975.— 341, N 1627.— Р. 537—557.
- Авдеев Е. А., Дубовик А. В. Влияние скорости нагружения на параметры разрушения и воспламенения тонких слоев твердых ВВ // Хим. физика.— 1988.— 7, № 5.— С. 688—693.
- Долгов В. И., Карпухин И. А. Инициирование твердого нитроглицерина ударом // Дetonация и ударные волны: Материалы 8-го Всесоюз. симп. по горению и взрыву.— Черноголовка, 1986.— С. 99—101.

г. Москва

Поступила в редакцию 3/II 1992,
после доработки — 22/IV 1992